

# О МЕХАНИЗМАХ ВЛИЯНИЯ ВОДОРОДА НА ЭЛЕКТРИЧЕСКИЕ И ФОТОЭЛЕКТРИЧЕСКИЕ СВОЙСТВА ДИОДНЫХ СТРУКТУР Pd—*p*(*n*)-InP И Pd—*n*-GaP

*Г. Г. Ковалевская, М. М. Мередов, А. В. Пенцов, Е. В. Русс, С. В. Слободчиков, В. М. Фетисова*

В ряде проведенных исследований диодных структур с палладиевым контактом в присутствии водорода [1-3] утверждается, что уменьшение высоты барьера вследствие снижения работы выхода Pd определяет изменение электрических характеристик.

Проведенные нами исследования диодных структур Pd—*p*(*n*)-InP и Pd—*n*-GaP показали, что может быть несколько других причин изменений как электрических, так и фотоэлектрических свойств в атмосфере H<sub>2</sub>.

Эксперименты были проведены на диодных структурах на основе фосфида индия, полученные как методом электрохимического осаждения [4], так и испарением Pd в вакууме. Использовались слои InP с *n*, *p*=10<sup>20</sup>—10<sup>22</sup> м<sup>-3</sup>, полученные методом Чохральского или газовой эпитаксией (*p*=10<sup>22</sup> м<sup>-3</sup>), и слои GaP *n*-типа, полученные методом Чохральского с *n*=8·10<sup>22</sup> м<sup>-3</sup>. Структуры Pd—*n*-GaP были созданы напылением Pd в вакууме.

На рис. 1 приведены характерные кривые вольт-амперной зависимости (прямая ветвь) для различных типов структур в газовой среде с водородом и без него. Отметим следующие особенности. На образцах Pd—*n*-InP, полученных электрохимическим осаждением (кривые 1, 2), наблюдается увеличение тока почти на порядок (0.3 % H<sub>2</sub>); аналогичные зависимости получены на структурах Pd—*p*-InP. На структурах с напыленными в вакууме слоями Pd отмечаются области как с уменьшением тока, так и с увеличением (кривые 3, 4) (100 % H<sub>2</sub>). На рис. 2 представлены спектральные кривые изменения фотоэдс для обоих типов Pd—*p*-InP структур. Если для электрохимически осажденных слоев Pd фотоэдс резко падает в присутствии H<sub>2</sub> (почти на 1.5 порядка) (кривые 1, 2), то во втором случае, наоборот, она возрастает почти вдвое (кривые 3, 4). Объяснение столь противоположным зависимостям может быть дано из рассмотрения механизмов токопрохождения и генерации фотоэдс в изученных диодных структурах. На рис. 3 представлена зонная схема Pd—*p*—p<sup>+</sup>-InP с промежуточным слоем (ПС). В этой структуре аналитическая зависимость ток *J*—напряжение *v* имеет вид

$$J = J_1 \exp\left(\frac{qv}{nkT}\right), \quad (1)$$

где *n* — постоянный коэффициент, *k* — постоянная Больцмана, *q* — заряд электрона, *T* — температура в К, *J*<sub>1</sub> — предэкспоненциальный множитель.

Эта зависимость определяет процессы двойной инжеекции носителей в эпитаксиальный слой *p*-InP в диффузационном приближении [5], причем в различных образцах *n*=10—20. ПС в этих образцах содержит мало компоненты P<sub>2</sub>O<sub>5</sub> и больше In<sub>2</sub>O<sub>3</sub>, к тому же в слое истощения и в объеме эпитаксиального *p*-InP содержится высокая плотность центров захвата основных носителей, дырок, как показали измерения *c*—*v* характеристик —  $\geq 10^{21}$  м<sup>-3</sup>. В отличие от этих структур в ПС диодов с электрохимически осажденными слоями Pd на подложках *n*(*p*)-InP, полученных методом Чохральского, содержится существенно больше P<sub>2</sub>O<sub>5</sub> ( $\geq 50$  %) и меньше In<sub>2</sub>O<sub>3</sub> и других компонент; концентрация ловушек в объеме мала. Механизм изменения тока и фотоэдс в структурах с напыленным Pd объясняется следующим образом. При поглощении H<sub>2</sub> образуется дипольный слой заряженными ионами H<sub>α</sub><sup>+</sup> (рис. 3) [6] и при небольших смещениях ( $< 0.8$  В) общий ток уменьшен по сравнению с начальным (до запуска H<sub>2</sub>) вследствие уменьшения коэффициента инжеекции электронов *J<sub>nT</sub>/J* из-за наличия поля дипольного слоя, а также увеличения захвата в слое насыщения дырок, инжектированных в *p*-InP из p<sup>+</sup>-InP с коэффициентом инжеекции *J<sub>pT</sub>/J*. Далее,

с ростом смещения зоны разгибаются и обе компоненты, дырочная и электронная, возрастают из-за нейтрализации поля диполя и заполнения центров захвата дырок. Высота барьера  $\Phi_B$ , как оказалось, убывает в атмосфере  $H_2$  незначительно, а именно с 0.79 эВ до 0.74 эВ. В диодах с электрохимически осажденным Pd факторы, связанные с наличием дипольного слоя, а также наличие центров захвата играют меньшую роль, а существенное уменьшение тока и

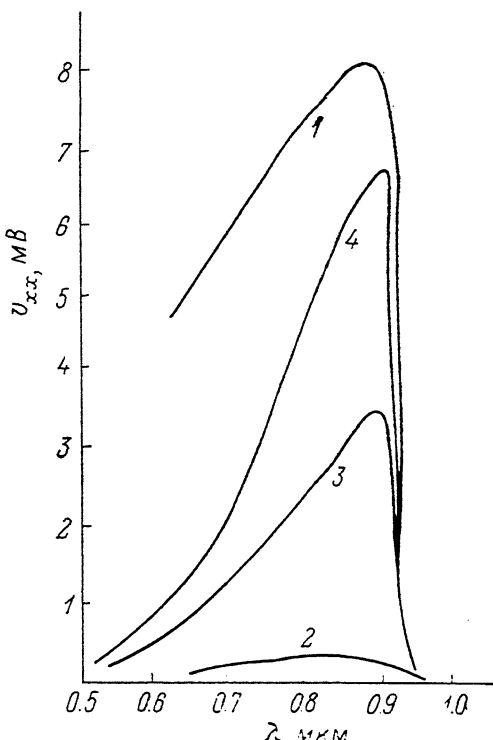
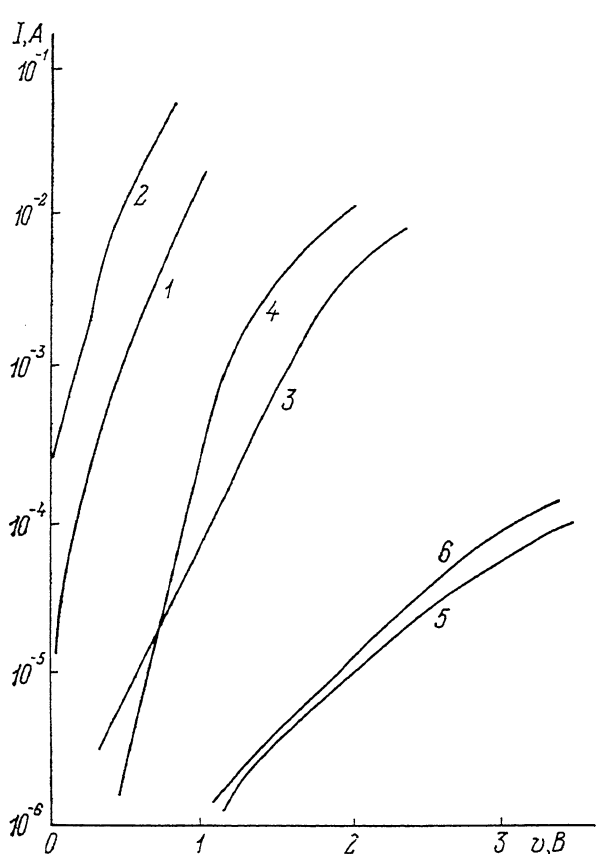


Рис. 1. Вольт-амперные характеристики при  $T=300$  К.

Диод  $Pd-n-InP$  с электрохимически осажденным Pd: 1 — без  $H_2$ , 2 — в газовой смеси с 0.3 %  $H_2$ ; диод  $Pd-p-p^+InP$  с напыленным Pd: 3 — без  $H_2$ , 4 — с  $H_2$  (100 %  $H_2$ ); диод  $Pd-n-GaP$ : 5 — без  $H_2$ , 6 — с  $H_2$  (100 %  $H_2$ ).

Рис. 2. Спектральная фотоэдс при  $T=300$  К.

Диод  $Pd-n-InP$  с электрохимически осажденным Pd: 1 — без  $H_2$ , 2 — с  $H_2$ ; диод  $Pd-p-p^+InP$  с напыленным Pd: 3 — без  $H_2$ , 4 — с  $H_2$  (100 %  $H_2$ ).

фотоэдс можно отнести за счет снижения  $\Phi_B$ , определяемого, вероятно, снижением работы выхода металла  $\Phi_m$ . Эти выводы подкрепляются рассмотрением аналитического выражения фотоэдс

$$v_{xx} = \frac{n_1 k T}{q} \left( \ln \frac{J_{ns}}{A^* T^2} + \frac{\Phi_B}{k T} + b_p \chi_p^{1/2} \cdot t \right), \quad (2)$$

где  $n_1$  — коэффициент неидеальности,  $A^*$  — эффективная постоянная Ричардсона,  $b_p$  — постоянная туннелирования,  $\chi_p$  — высота барьера ПС,  $t$  — толщина ПС.

Из (2) следует, что двукратный рост фотоэдс можно отнести только за счет изменения коэффициента прозрачности для дырок, т. е. снижения темнового тока и возрастания  $J_{ns} \approx J_{ss}$ . Наоборот, резкое падение  $v_{xx}$  в диодах второй группы (в некоторых образцах до  $v_{xx} \approx 0$ ) прежде всего следует связать с изменением  $\Phi_B$ .

Проведенные дополнительные измерения фотоэдс без  $H_2$  и с  $H_2$  в магнитном поле в диодах с напыленными слоями Pd показали, что в полях  $> 1$  Тл наблюдается дополнительное возрастание  $v_{xx}$  в 2–3 раза, что вполне может объясняться увеличением плотности зарядов и поля дипольного слоя вследствие упорядоченного распределения  $H_{ai}$  вдоль границы Pd–ПС.

Отметим небольшое увеличение прямого тока ( $\sim 30$ – $40$  %) в структурах Pd– $n$ -GaP (рис. 1, кривые 5, 6) в атмосфере  $H_2$  и практическое отсутствие фоточувствительности. Последнее может быть результатом очень малого времени жизни и при небольшой подвижности ( $\mu_n, \mu_p \leqslant 10^2$  см $^2$ /В·с) малой диффузионной длины  $L$  ВАХ этих структур описывается зависимостью  $I = \alpha v^5$ .

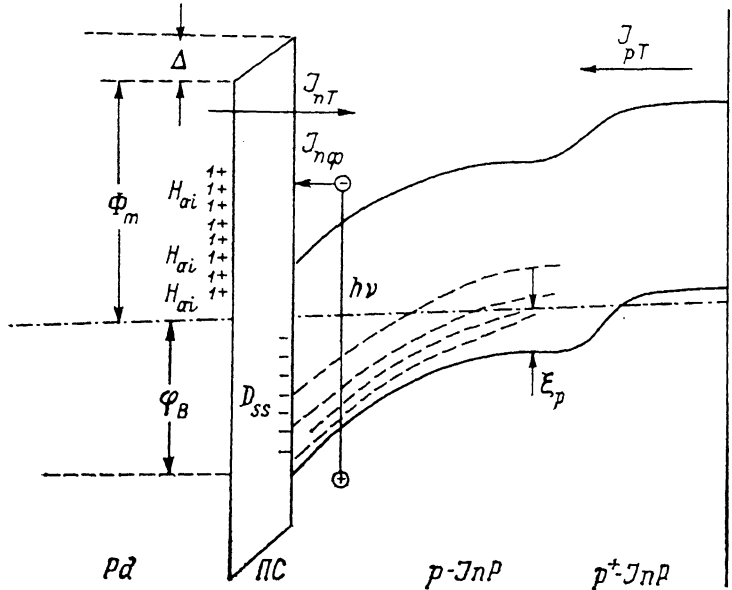


Рис. 3. Зонная схема диодной структуры Pd– $p$ – $p^+$ –InP с промежуточным слоем.

Согласно [5], такого рода зависимость может наблюдаться в структурах с двойной инжеекцией при наличии неинжеекционных токов. Тогда поле дипольного слоя, создаваемого  $H_2$ , усиливает ток электронов на границе Pd– $n$ -GaP по каналам неинжеекционных утечек, приводя к указанному выше увеличению тока, причем величина контактного потенциала практически не изменяется.

Таким образом, из полученных результатов следует, что причины изменения электрических и фотоэлектрических свойств диодных структур металл–полупроводник с палладиевым контактом в присутствии водорода могут быть выявлены из анализа механизма токопрохождения и фотоответа. Такие факторы, как высота барьера  $\varphi_B$ , наличие промежуточного слоя, плотность центров захвата в слое истощения и плотность связанных состояний, степень инжеекции палладиевого и омического контактов, наличие неинжеекционных компонент тока, могут играть решающую роль в зависимости от свойств исходных кристаллов и технологии диодных структур.

#### Список литературы

- [1] Steele M. C., MacIver B. A. // Appl. Phys. Lett. 1976. Vol. 28. N 11. P. 687–688.
- [2] Yamamoto N., Tonomura S., Matsuoka T., Tsubomura H. // Surf. Sci. 1980. Vol. 92. N 2/3. P. 400–406.
- [3] Yamamoto N., Tonomura S., Matsuoka T., Tsubomura H. // J. Appl. Phys. 1981. Vol. 52. N. 10. P. 6227–6230.
- [4] Ковалевская Г. Г., Кратена Л., Мередов М. М. и др. // Письма в ЖТФ. 1989. Т. 15. Вып. 12. С. 55–58.

[5] Адирович Э. И., Карагеоргий-Алкаев П. М., Лейдерман А. Ю. Токи двойной инжекции в полупроводниках. М.: Сов. радио, 1978. Гл. 2.

[6] Dannetun H., Lundström I., Petersson L.-G. // Surf. Sci. 1988. Vol. 193. P. 109—131.

Физико-технический институт  
им. А. Ф. Иоффе АН СССР  
Санкт-Петербург

Поступило в Редакцию  
16 августа 1990 г.

08; 09

Журнал технической физики, т. 61, в. 9, 1992

© 1991 г.

## АВТОМОДУЛЯЦИЯ ПАРАМЕТРИЧЕСКИ ВОЗБУЖДЕННЫХ ВОЛН В АКУСТИЧЕСКИ АНИЗОТРОПНЫХ СРЕДАХ

С. Г. Долинчук, В. И. Задорожный, А. М. Федорченко

Нелинейное взаимодействие акустических волн находит широкое применение в устройствах обработки информации, для усиления слабых акустических сигналов [1, 2], генерации акустических волн СВЧ диапазона [3]. В [1, 3] реализован невырожденный параметрический генератор на монокристалле пирателлурита ( $\text{TeO}_2$ ), использующий синхронное взаимодействие между продольными и встречными поперечными упругими волнами. При превышении в несколько раз порогового значения мощности накачки параметрическая генерация в таком генераторе сменяется периодической автомодуляцией, которая при дальнейшем повышении мощности накачки становится шумоподобной. Причина возникновения автоколебаний в указанном параметрическом генераторе осталась невыясненной.

С точки зрения приложений важной задачей является изучение возникающих неустойчивостей, чтобы либо избежать их нежелательного влияния на работу устройства, либо соответствующим образом использовать. С другой стороны, изучение подобных автоколебаний, имеющих тенденцию к хаотизации движения при увеличении управляющего параметра (интенсивности накачки), представляет интерес с чисто физической точки зрения в связи с изучением различных проявлений детерминированного хаоса [4, 5].

В настоящей работе показано, что при немногом взаимодействии продольных и поперечных акустических волн в диэлектрических тетрагональных кристаллах при наличии обратной связи по параметрически возбужденной попутной поперечной волне может наблюдаться неустойчивость, аналогичная неустойчивости Икеды [5].

Указанная обратная связь может быть реализована, например, с помощью торцевых пьезообразователей со специально подобранный полосой пропускания [6] и электрической цепи, передающей сигнал с выхода на вход кристалла, при этом легко реализуется сдвиг фазы сигнала. Для уменьшения уровня ложных сигналов вследствие отражения от торцов звукопровода, а также улучшения возможностей регистрации комбинационной волны на выходе генератора может быть использована схема неколлинеарного взаимодействия упругих волн [7]. Явление неустойчивости изучено на примере широко использующихся кристаллов пирателлурита, в которых в направлении [110] реализуется практически чистое трехвольновое взаимодействие (возбуждением высших гармоник накачки можно пренебречь [3]).

Динамические свойства акустического параметрического генератора с обратной связью описываются системой связанных уравнений для медленно изменяющихся амплитуд, которая в безразмерной форме имеет вид

$$\frac{\partial a_{1,2}}{\partial \tau} \pm \nu \frac{\partial a_{1,2}}{\partial \xi} = \lambda a_3 a_{2,1}^* - a_{1,2} a_{1,2}^*,$$